

# 高三理科综合

## 考生注意：

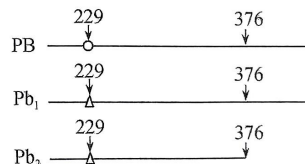
1. 本试卷分选择题和非选择题两部分。满分 300 分，考试时间 150 分钟。
2. 答题前，考生务必用直径 0.5 毫米黑色墨水签字笔将密封线内项目填写清楚。
3. 考生作答时，请将答案答在答题卡上。选择题每小题选出答案后，用 2B 铅笔把答题卡上对应题目的答案标号涂黑；非选择题请用直径 0.5 毫米黑色墨水签字笔在答题卡上各题的答题区域内作答，超出答题区域书写的答案无效，在试题卷、草稿纸上作答无效。
4. 本卷命题范围：高考范围。
5. 可能用到的相对原子质量：H 1 Li 7 C 12 O 16 Na 23 P 31 Cl 35.5 K 39 Cr 52 Pb 207

一、选择题：本题共 13 小题，每小题 6 分，共 78 分。在每小题给出的四个选项中，只有一项是符合题目要求的。

1. 糖类和脂质摄入过多会影响人体健康。下列关于糖类和脂质的叙述，正确的是
  - A. 胆固醇在人体细胞中具有重要作用，宜大量摄入
  - B. 摄入过多的糖类会在体内转化为脂肪导致肥胖
  - C. 脂质是主要的储能物质，不参与机体生命活动的调节
  - D. 与等质量的糖类相比，脂肪完全氧化分解释放的能量少
2. 某 U 形渗透装置中间由只允许水分子通过的半透膜隔开，装置左右两侧分别加入等体积、等质量浓度的两种溶液。下列相关叙述正确的是
  - A. 若左侧为葡萄糖溶液，右侧为果糖溶液，当渗透平衡时，两侧液面等高
  - B. 若左侧为葡萄糖溶液，右侧为蔗糖溶液，当渗透平衡时，右侧溶液液面较高
  - C. 若左侧为蔗糖溶液，右侧为淀粉溶液，当渗透平衡时，两侧溶液浓度相等
  - D. 若左侧为蔗糖溶液，右侧为葡萄糖溶液，当渗透平衡时，吸去液面上升一侧高出部分，再次平衡时，液面差增大
3. 某植物中控制花色的基因有 B、b<sub>1</sub> 和 b<sub>2</sub>，其表型及基因型的关系如下表所示。对 3 种基因编码的蛋白质进行检测，结果如图所示。下列相关叙述错误的是

表型	红色		黄色		白色	
基因型	BB	Bb <sub>1</sub>	Bb <sub>2</sub>	b <sub>1</sub> b <sub>1</sub>	b <sub>1</sub> b <sub>2</sub>	b <sub>2</sub> b <sub>2</sub>

- A. 3 种基因显隐性关系为 B>b<sub>1</sub>>b<sub>2</sub>
  - B. 表中所有植株分别自交，其中有 3 种基因型能发生性状分离
  - C. 与基因 B 相比，基因 b<sub>1</sub> 发生了碱基替换
  - D. 与基因 b<sub>1</sub> 相比，基因 b<sub>2</sub> 缺少编码第 376 位氨基酸后的碱基
4. 某研究小组对某地区花栗鼠的鼠尾长度进行调查，从该种群中随机抽取 2 000 只花栗鼠，测得基因型为 MM 的有 600 只，基因型为 mm 的有 200 只。下列相关叙述正确的是
    - A. 花栗鼠种群与生存地环境、其他物种之间存在着协同进化
    - B. 若 5 年后调查发现 MM 基因型频率为 30%，说明该种群未发生进化
    - C. 若环境发生改变导致 mm 个体不适宜生存，则 m 的基因频率会降为 0
    - D. 该地区花栗鼠种群中基因 M 和 m 的总和构成该种群的基因库



图中数字表示肽链中氨基酸的位置  
○为丙氨酸 △为组氨酸  
基因 B、b<sub>1</sub> 和 b<sub>2</sub> 的表达产物分别为 PB、Pb<sub>1</sub> 和 Pb<sub>2</sub>

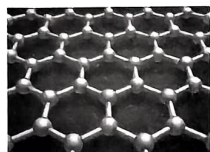
5. 帕金森病(PD)是一种常见的神经退行性疾病,主要病因是多巴胺能神经元(能合成并释放多巴胺)损伤,临床表现为静止性震颤、运动迟缓、姿势平衡障碍以及说话不利索、吐字不清等。下列相关叙述错误的是

- A. PD患者表现为姿势平衡障碍,说明其小脑可能受到损伤
- B. 正常人的上肢运动与大脑皮层中央前回顶部的兴奋有关
- C. 多巴胺能神经元以胞吐的方式释放多巴胺到突触间隙
- D. 语言是人脑特有的高级功能,包括听、说、读、写

6. 酸笋是螺蛳粉的灵魂,腌酸笋季节在春季。当竹子出笋后,长出约30 cm高时便可砍下,剥去笋壳,切成块或是切成笋丝、笋片,放于陶罐中,清水过面,撒上适量食盐,置于阴凉处一个月左右,酸味即出,便可随食随取。下列相关叙述错误的是

- A. 制作酸笋所需菌种的代谢类型为异养厌氧型
- B. 为保证发酵成功,需将鲜笋和陶罐用沸水泡烫片刻
- C. “清水过面”是为了创造无氧环境,减少杂菌污染
- D. 在制作酸笋时若加入“陈酸笋水”可加速发酵进程

7. 材料是人类赖以生存和发展的物质基础。下列材料主要成分属于有机物的是



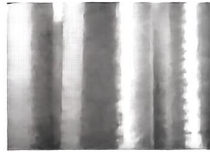
A. 石墨烯



B. 不锈钢

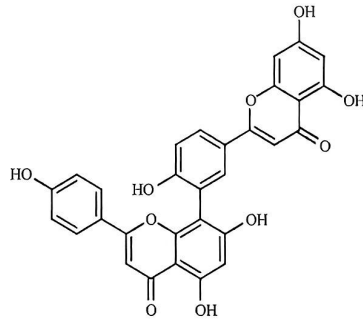


C. 石英光导纤维



D. 聚芳纶纤维

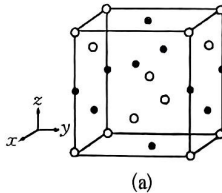
8. 穗花杉双黄酮是一种很强的抗氧化剂,可有效清除体内的氧自由基。其结构如图所示。下列说法正确的是



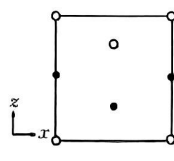
- A. 该物质属于芳香烃
- C. 分子中的碳原子均是sp<sup>2</sup>杂化

- B. 分子中至少有5个手性碳原子
- D. 分子中的所有碳原子一定在同一平面内

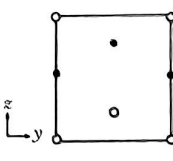
9. KH<sub>2</sub>PO<sub>4</sub>晶体的四方晶胞如图(a)所示,图(b)、图(c)分别表示的是H<sub>2</sub>PO<sub>4</sub><sup>-</sup>和K<sup>+</sup>在晶胞xz面、yz面上的位置。图中○、●分别表示H<sub>2</sub>PO<sub>4</sub><sup>-</sup>和K<sup>+</sup>,已知晶胞底边的边长均为a pm、高为c pm,阿伏加德罗常数的值为N<sub>A</sub>。



(a)



(b)



(c)

下列说法错误的是

- A. 电负性:O>P>K

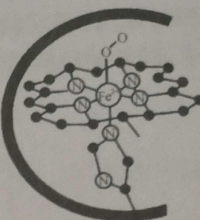
- B. 基态K原子价层电子排布式为4s<sup>1</sup>

- C. 基态原子未成对电子数:O>P>H

- D. 晶体的密度为 $\frac{4 \times 136 \times 10^{30}}{N_A a^2 c}$  g·cm<sup>-3</sup>

10. 下列说法正确的是

- A.  $\text{AlF}_3$ 的沸点(1040 °C)高于 $\text{AlCl}_3$ (178 °C)的沸点,主要与晶体类型有关
- B. 血红蛋白的结构如图所示, $\text{Fe}^{2+}$ 的配位数为4
- C. 气态 $\text{SeO}_3$ 分子的键角小于 $\text{SeO}_3^{2-}$ 离子的键角
- D. 吡啶()在水中的溶解度小于苯在水中的溶解度



11. 利用水性电解液 $\text{Zn}-\text{MnO}_2$ 离子选择双隔膜电池[图1,KOH溶液中, $\text{Zn}^{2+}$ 以 $[\text{Zn}(\text{OH})_4]^{2-}$ 存在]电解 $\text{CuCl}_2$ 溶液(图2,Z为离子交换膜,X、Y均为惰性电极)装置如图所示。下列说法正确的是



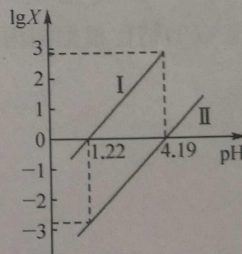
- A. 图1中Ⅱ区的 $\text{SO}_4^{2-}$ 通过隔膜向Ⅰ区迁移
- B. 图2中,若Z为阴离子交换膜,电解一小段时间后,则Y极区溶液浓度变小
- C. 图1中电池总反应为 $\text{Zn} + 4\text{OH}^- + \text{MnO}_2 + 4\text{H}^+ \rightarrow [\text{Zn}(\text{OH})_4]^{2-} + \text{Mn}^{2+} + 2\text{H}_2\text{O}$
- D. 若图1中消耗65 g锌,则理论上X极上产生22.4 L(标准状况下) $\text{Cl}_2$

12. 根据下列实验操作和现象能得出相应实验结论的是

选项	实验操作和现象	实验结论
A	用广泛pH试纸测定某溶液的pH	pH=3.5
B	向2.0 mL浓度均为0.1 mol·L <sup>-1</sup> 的KCl和KI混合溶液中滴加1~2滴0.01 mol·L <sup>-1</sup> 的AgNO <sub>3</sub> 溶液,先出现黄色沉淀	$K_{sp}(\text{AgI}) < K_{sp}(\text{AgCl})$
C	向5 mL 0.1 mol·L <sup>-1</sup> FeCl <sub>3</sub> 溶液中滴加1 mL 0.1 mol·L <sup>-1</sup> KI溶液充分反应后,取少许混合液滴加KSCN溶液,溶液变为红色	FeCl <sub>3</sub> 与KI的反应是可逆反应
D	用pH试纸测定不同浓度的CH <sub>3</sub> COONa溶液和NaNO <sub>2</sub> 溶液,pH依次为9、8	HNO <sub>2</sub> 电离出H <sup>+</sup> 的能力比CH <sub>3</sub> COOH的强

13. 草酸(H<sub>2</sub>C<sub>2</sub>O<sub>4</sub>)是一种二元弱酸。常温下,向H<sub>2</sub>C<sub>2</sub>O<sub>4</sub>溶液中逐滴加入NaOH溶液,混合溶液中 $\lg X$  $\left[X \text{ 为} \frac{c(\text{HC}_2\text{O}_4^-)}{c(\text{H}_2\text{C}_2\text{O}_4)} \text{ 或} \frac{c(\text{C}_2\text{O}_4^{2-})}{c(\text{HC}_2\text{O}_4^-)}\right]$ 与pH的变化关系如图所示。下列说法错误的是

- A. Ⅱ表示 $\lg \frac{c(\text{C}_2\text{O}_4^{2-})}{c(\text{HC}_2\text{O}_4^-)}$ 与pH的变化关系
- B. 常温下,H<sub>2</sub>C<sub>2</sub>O<sub>4</sub>的 $K_{a2}=10^{-4.19}$
- C. NaHC<sub>2</sub>O<sub>4</sub>溶液的pH<7
- D. pH=4.19的溶液中: $c(\text{Na}^+) > 3c(\text{HC}_2\text{O}_4^-)$

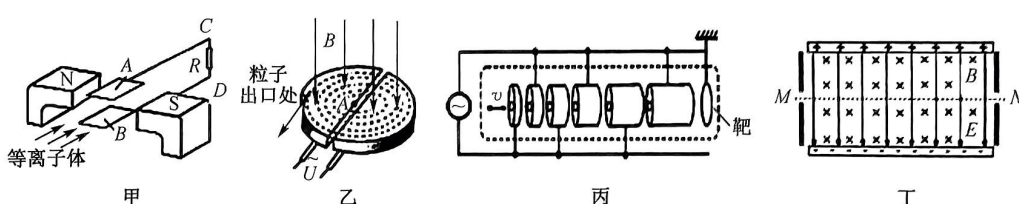


二、选择题:本题共8小题,每小题6分,共48分。在每小题给出的四个选项中,第14~18题只有一项符合题目要求,第19~21题有多项符合题目要求。全部选对的得6分,选对但不全的得3分,有选错的得0分。

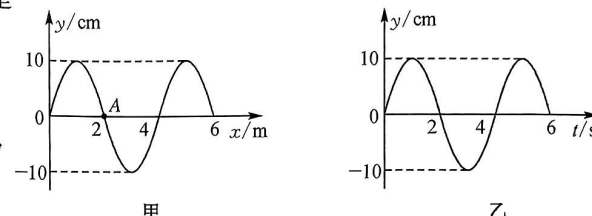
14. 2023年11月9日消息,我国科学岛上,“人造小太阳”先后实现了“1.2亿摄氏度等离子体运行101秒”、“近7000万摄氏度等离子体运行1056秒”创造世界纪录的重大突破。 ${}_1^2\text{H} + {}_1^3\text{H} \rightarrow {}_2^4\text{He} + \text{X}$ 是人造小太阳中的一个反应方程,下列说法正确的是



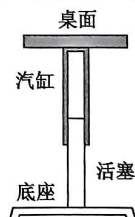
- A. 该反应为核聚变反应, X 粒子带正电  
 B. 核的聚变可以在任何温度下进行, 核反应都能释放核能  
 C. 原子核必须在超高温下才能发生聚变, 说明核聚变过程需要吸收能量  
 D. 该反应中的核燃料与当前核电站采用的核燃料不同
15. 以下四幅图片中: 图甲是磁流体发电机示意图, 图乙是回旋加速器工作原理示意图; 图丙是多级直线加速器的原理示意图; 图丁是速度选择器的原理示意图, 带电粒子(不计重力)能够沿直线匀速通过速度选择器. 下列说法中正确的是



- A. 图甲中, A 极板是发电机的负极  
 B. 图乙中, 电场进行偏转, 磁场进行加速  
 C. 图丙中, 多级直线加速器一定比回旋加速器更有优势  
 D. 图丁中, 带电粒子能够从 N 向 M 沿直线匀速通过速度选择器
16. 如图甲所示为一列沿 x 轴传播的简谐横波在 t=0 时刻的波形图, A 是平衡位置为 x=2 m 处的质点, 图乙为质点 A 的振动图像, 下列说法正确的是
- A. 该波沿 x 轴负方向传播  
 B. 该波的波速 1 cm/s  
 C. 0~20 s 时间内, 质点 A 运动的路程为 4 m  
 D. 坐标原点 O 处质点做简谐运动的表达式为
- $$y=-10 \sin \frac{\pi}{2} t (\text{cm})$$

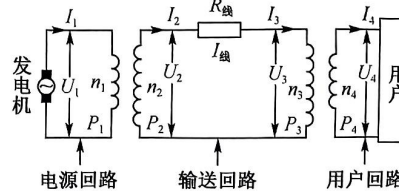


17. 气压式电脑升降桌通过汽缸上下运动来支配桌子升降, 其简易结构如图所示, 圆柱形汽缸与桌面固定连接, 柱状活塞与脚底座固定连接. 可自由移动的汽缸与活塞之间封闭着一定质量的理想气体, 汽缸导热性能良好, 活塞可在气缸内无摩擦活动. 设气体的初始状态为 A, 将电脑放在桌面上保持不动, 桌子缓慢下降一段距离后达到稳定状态 B. 打开空调一段时间后, 室内温度降低到设定温度, 稳定后气体状态为 C. 将电脑从桌子上拿起来, 桌子重新达到新的稳定状态 D. 则气体从状态 A→B→C→D 的过程中, 下列说法中正确的是
- A. 从 A 到 B 的过程中, 气体等温压缩, 压强增大  
 B. 从 A 到 B 的过程中, 气体会从外界吸热  
 C. 从 B 到 C 的过程中, 气体等压降温, 体积增大  
 D. 从 C 到 D 的过程中, 气体降压升温, 体积增大



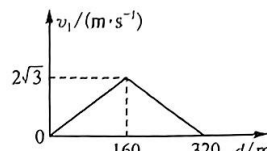
18. 如图所示为远距离输电示意图, 两变压器均为理想变压器, 输电线的电阻不变, 升压变压器的原、副线圈匝数分别为  $n_1$ 、 $n_2$ , 降压变压器的原、副线圈匝数分别为  $n_3$ 、 $n_4$ . 在保持发电机输出电压  $U_1$  及用户得到的电压  $U_4$  均不变的条件下, 若将输送电压  $U_2$  由 300 kV 升级为 2 100 kV 高压, 输送的总电功率变为原来的 3.5 倍, 不考虑其他因素的影响, 则

- A. 升压变压器原、副线圈匝数比值  $\frac{n_1}{n_2}$  变为原来的 7 倍  
 B. 输电线上电流  $I_2$  变为原来的 2 倍  
 C. 输电线损失的功率变为原来的 4 倍  
 D. 降压变压器原、副线圈匝数比值  $\frac{n_3}{n_4}$  变大



19. 京津冀第五届滹沱河公开水域游泳挑战赛在叶子广场周边水域进行,比赛前某运动员热身时游过一段宽  $d=320\text{ m}$  的河道,河水的流速  $v_1$  与离河岸的距离  $d$  变化的关系如图所示,运动员在静水中的速度为  $v_2=2\text{ m/s}$ ,若运动员以最短的时间渡河,则

- A. 运动员在渡河过程中,  $v_1$  的方向应与上游河岸成  $45^\circ$  角
- B. 运动员运动的轨迹是曲线
- C. 运动员渡河的最短时间是  $80\text{ s}$
- D. 运动员在河水中的最大速度是  $4\text{ m/s}$



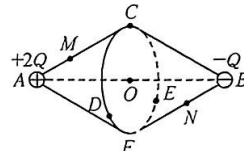
20. 我国宋代已经出现冲天炮这种玩具(如图),也叫“起火”,逢年过节人们都要放“起火”庆祝。若冲天炮从地面由静止发射竖直升空可认为做  $a=8\text{ m/s}^2$  的匀加速直线运动,当到达离地面  $25\text{ m}$  的高处时燃料恰好用完,忽略空气阻力,取  $g=10\text{ m/s}^2$ ,则

- A. 燃料恰好用完时冲天炮的速度大小为  $20\text{ m/s}$
- B. 燃料用完后继续向上运动的位移大小为  $17\text{ m}$
- C. 冲天炮上升离地面的最大高度为  $38\text{ m}$
- D. 冲天炮从发射到最大高度所用的时间为  $4.5\text{ s}$



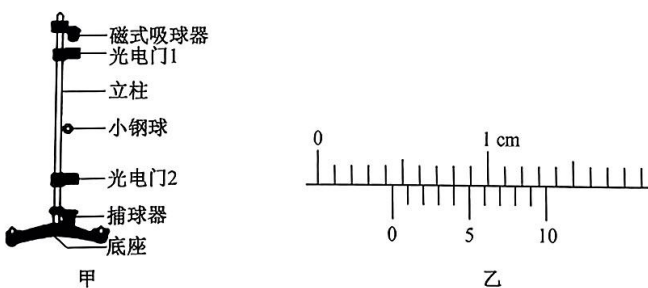
21. 如图所示,两个完全相同的圆锥体对接在一起,圆锥的顶角为  $60^\circ$ ,圆锥的母线长为  $L$ , $O$  点为圆锥底面圆的圆心, $M$ 、 $N$  两点在圆锥母线上,关于  $O$  点对称,底面圆周上的  $C$ 、 $D$ 、 $E$  三点将圆周三等分。在两个圆锥顶点  $A$ 、 $B$  固定两个电荷量分别为  $+2Q$  和  $-Q$  的点电荷,下列说法中正确的是

- A.  $O$  点电场强度的大小为  $4 \frac{kQ}{L^2}$ ,方向从  $A$  到  $B$
- B.  $C$  点和  $D$  点电场强度相同
- C. 圆锥底面圆周为等势线
- D. 一负电荷在  $M$  点的电势能小于在  $N$  点的电势能



### 三、非选择题:共 174 分。

22. (6 分) 某实验小组用如图甲所示装置测当地的重力加速度。光电门 1、2 固定在铁架台上,两光电门分别与数字计时器连接。



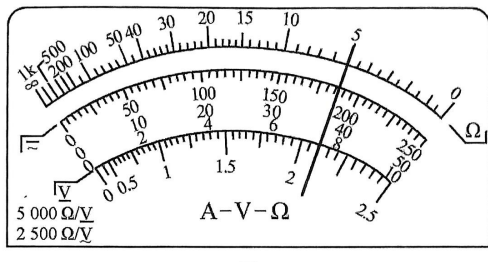
(1)利用游标卡尺的一对 \_\_\_\_\_ (填“外”或“内”)测量爪可测量小钢球的直径;如图乙所示,根据游标卡尺读数规则,测得小钢球的直径  $d=$  \_\_\_\_\_ mm。

(2)安装实验装置时,对两光电门的位置有怎样的要求?

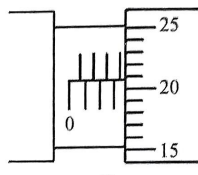
(3)通过磁式吸球器控制小钢球自由下落,小钢球下落依次通过光电门 1、光电门 2 时,测得遮光时间为  $t_1$ 、 $t_2$ ,则  $t_1$  \_\_\_\_\_ (填“大于”“小于”或“等于”)  $t_2$ 。

(4)保持两光电门间距离不变,测量这一距离  $h$ ,改变小钢球在光电门 1 上方释放的位置,重复实验多次,测得多组通过光电门 1 和光电门 2 的遮光时间  $t_1$ 、 $t_2$ ,作  $\frac{1}{t_2^2} - \frac{1}{t_1^2}$  图像,图线与纵轴的交点为  $(0, b)$ ,则当地重力加速度  $g=$  \_\_\_\_\_ (用题目中相关物理量的字母符号表示)。

23. (12分)某实验小组在“测量金属丝电阻率”的实验中:先用多用电表进行粗测电阻,再采用“伏安法”较准确地测量未知电阻,后计算金属丝的电阻率。

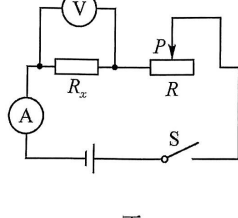


甲

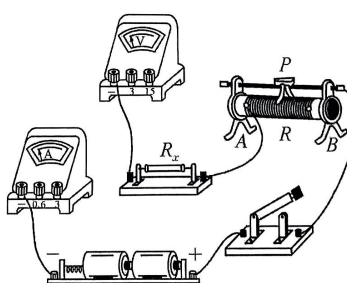


乙

- (1) 在使用多用电表测电阻时,以下说法正确的是\_\_\_\_\_ (选填相应序号字母).
- 每换一次挡位,不必重新进行欧姆调零
  - 指针越接近刻度盘中央,误差越小
  - 在外电路中,电流从红表笔流经被测电阻到黑表笔
  - 测量时,若指针偏角较小,说明这个电阻的阻值较大,应换倍率较大的挡位来测量
- (2) 先用多用电表的欧姆挡“ $\times 1$ ”按正确的操作步骤粗测其电阻,指针如图甲所示,则读数应记为\_\_\_\_\_  $\Omega$ .
- (3) 用螺旋测微器测量金属丝的直径,其中一次测量的示数如图乙所示,则该次金属丝直径的测量值  $d = \text{_____ mm}$ .
- (4) 实验室提供的器材如下:
- 待测金属丝(电阻  $R_x$ )
  - 电流表  $A_1$ (量程  $0 \sim 0.6 A$ , 内阻约  $0.1 \Omega$ )
  - 电流表  $A_2$ (量程  $0 \sim 3 A$ , 内阻约  $0.01 \Omega$ )
  - 电压表  $V_1$ (量程  $0 \sim 3 V$ , 内阻约  $3 k\Omega$ )
  - 电压表  $V_2$ (量程  $0 \sim 15 V$ , 内阻约  $20 k\Omega$ )
  - 滑动变阻器  $R$ ( $0 \sim 20 \Omega$ )
  - 电源  $E$ (电动势为  $3.0 V$ , 内阻不计)
  - 开关、若干导线
- 为了调节方便,测量精确,实验中电流表应选\_\_\_\_\_ (填“B”或“C”),电压表应选\_\_\_\_\_ (填“D”或“E”).
- (5) 请你根据图丙电路图用笔画线代替导线,将图丁的实验电路连接完整.



丙



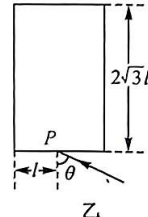
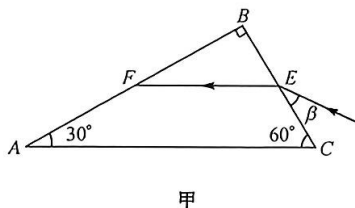
丁

- (6) 闭合开关前,应将滑动变阻器的滑片置于\_\_\_\_\_ (填“A”或“B”)端.
- (7) 若通过测量可知,金属丝接入电路的长度为  $l$ , 直径为  $d$ , 通过金属丝的电流为  $I$ , 金属丝两端的电压为  $U$ , 由此可计算得出金属丝的电阻率  $\rho = \text{_____}$ . (用题目所给字母表示)



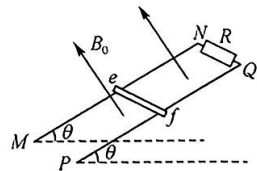
24. (10分)如图甲所示,三棱镜的横截面ABC为直角三角形, $\angle A=30^\circ$ .一单色光从BC边的中点E射入三棱镜,在AB边的中点F发生全反射.已知入射光线与BC边的夹角 $\beta=30^\circ$ ,光在真空中传播速度大小为c,求:

- (1)透明介质的折射率n;
- (2)若用上述透明介质制成圆柱体如图乙所示,底部中心P点处有一束光以 $\theta=60^\circ$ 射入,已知圆柱体的底面半径为l,高度为 $2\sqrt{3}l$ ,求光线从圆柱体底部传播到顶部的时间.



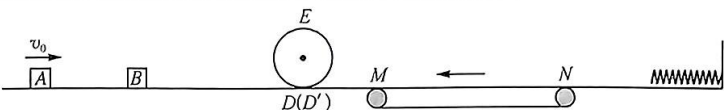
25. (14分)如图所示,两根平行金属导轨MN、PQ相距为d,金属导轨平面与水平面夹角为 $\theta$ ,导轨上端跨接一定值电阻R,导轨电阻不计,整个装置处于与导轨平面垂直且向上的匀强磁场中,磁感应强度大小为 $B_0$ .一质量为m、长度为d的导体棒ef垂直导轨放置在导轨上,且与导轨保持良好接触,导体棒的电阻忽略不计,与轨道和电阻所围的回路面积为S,已知重力加速度大小为g,求:

- (1)假设金属导轨MN、PQ是粗糙的,从某时刻开始,磁场以 $B=B_0+kt$ ( $k>0$ )的规律发生变化,在t时刻导体棒仍保持静止状态.求此时导体棒受到的安培力和摩擦力的大小;
- (2)假设金属导轨MN、PQ是光滑的,导体棒被锁定,解除锁定,导体棒向下滑动L后,通过电阻的电流不再变化,求此过程中电阻R上产生的热量Q.



26. (20分)如图所示,逆时针转动的传送带MN长度 $L=2\text{ m}$ ,可以根据需要调整速度大小,传送带左右两侧平台等高光滑,右侧竖直墙壁上固定一个轻质弹簧;左侧平台上固定一个光滑圆轨道,E点为圆轨道内侧最高点,最低点D、D'点相互靠近且错开。圆轨道左侧平面光滑且足够长;圆轨道左侧静置着一质量为10 g的物块B,一个质量为30 g的物块A以初速度 $v_0=2\text{ m/s}$ 向右运动并与静止的物块B发生弹性碰撞,已知物块B与传送带间的动摩擦因数为0.1,重力加速度大小 $g=10\text{ m/s}^2$ ,物块A、B均可看作质点。求:

- (1)物块A、B第一次碰撞后,求物块B的速度大小;
- (2)若两物块碰撞后只有物块B能通过圆轨道的最高点且物块A、B均不脱轨,求轨道半径的范围;
- (3)若圆轨道的半径为8 cm,欲使物块A、B能发生两次碰撞,求传送带的速度范围。



27. (14分)纳米铁酸锰( $\text{MnFe}_2\text{O}_4$ ,具有磁性)在光、电子、催化等领域应用广泛。实验室可采用共沉淀法制备纳米铁酸锰,步骤如下:

步骤1:按 $n(\text{Fe}^{3+}) : n(\text{Mn}^{2+}) = 2 : 1$ ,称取 $\text{MnCl}_2 \cdot 4\text{H}_2\text{O}$ 和 $\text{FeCl}_3 \cdot 6\text{H}_2\text{O}$ 于烧杯中,加入200 mL的蒸馏水,搅拌,形成混合溶液;

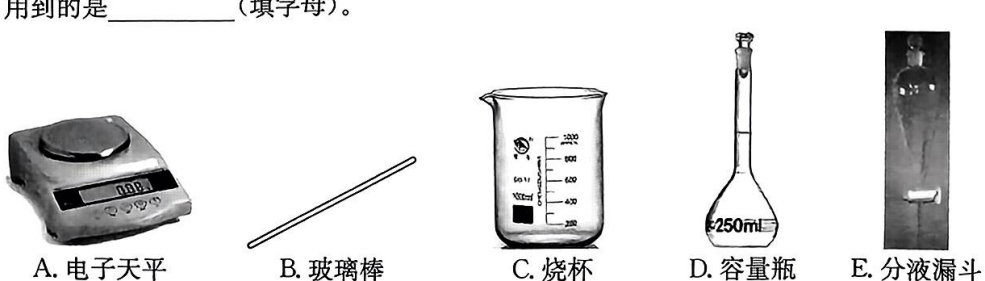
步骤2:配制浓度为 $25.6\text{ g} \cdot \text{L}^{-1}$ 的NaOH溶液,并加热至沸腾;

步骤3:将步骤1的混合液加热至 $80^\circ\text{C}$ ,剧烈搅拌下于10 s内加入沸腾的130 mL的NaOH溶液中,然后将该溶液倒入仪器X中回流,于 $90^\circ\text{C}$ 恒温晶化1 h;

步骤4:反应结束后,将铁酸锰晶体粒子分离出来,依次用蒸馏水、乙醇洗涤干燥后,即得到黑色具有磁性的铁锰酸。

回答下列问题:

- (1)步骤2所配NaOH溶液的物质的量浓度为\_\_\_\_\_  $\text{mol} \cdot \text{L}^{-1}$ 。配制过程中,下列仪器不需要用到的是\_\_\_\_\_ (填字母)。



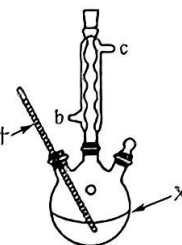
(2) 步骤 3 回流装置如图所示, 其中夹持仪器和加热装置均省略。

① 仪器 X 的名称为\_\_\_\_\_。

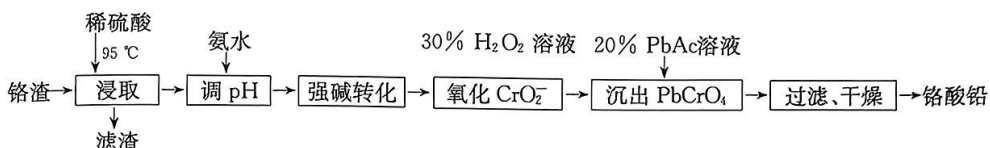
② 回流时的加热方式为\_\_\_\_\_。

③ 写出形成铁酸锰反应的离子方程式: \_\_\_\_\_。

(3) 步骤 4 分离出铁酸锰的简单方法是\_\_\_\_\_，检验蒸馏水将铁酸锰洗涤干净的操作是\_\_\_\_\_，乙醇洗涤的目的是\_\_\_\_\_。



28. (14分) 含铬废渣的排放会造成环境污染, 以某铬渣为原料制备铬酸铅( $\text{PbCrO}_4$ )的工艺流程如图所示:



回答下列问题:

(1) “浸取”时, 加热的目的是\_\_\_\_\_. 该工序过程可将  $\text{Cr}_2\text{O}_3$  转化为  $\text{Cr}_2(\text{SO}_4)_3$ , 写出该反应的化学方程式: \_\_\_\_\_, 滤渣的主要成分是\_\_\_\_\_ (填化学式)。

(2) “调 pH”的目的是将溶液中的  $\text{Fe}^{3+}$ 、 $\text{Al}^{3+}$  转化为氢氧化物而除去。已知  $K_{sp}[\text{Fe}(\text{OH})_3] = 10^{-37}$ ,  $K_{sp}[\text{Al}(\text{OH})_3] = 10^{-33}$ 。当  $\text{Al}^{3+}$  完全沉淀时(溶液中的离子浓度等于  $10^{-5} \text{ mol} \cdot \text{L}^{-1}$  视为沉淀完全), 溶液中的  $c(\text{Fe}^{3+}) = \text{_____ mol} \cdot \text{L}^{-1}$ 。

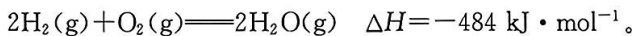
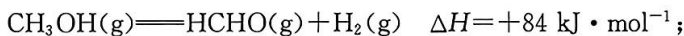
(3) 写出“氧化  $\text{CrO}_2^-$ ”时, 反应的离子方程式: \_\_\_\_\_。

(4) “ $\text{PbCrO}_4$  沉淀”时,  $\text{PbAc}$  不能过量, 若过量, 导致的结果是\_\_\_\_\_。

(5) 用 1.52 t 含 25%  $\text{Cr}_2\text{O}_3$  的某铬渣通过以上方法制取  $\text{PbCrO}_4$ , 若制取过程中 Cr 的损失率为 2.0%, 可以制得\_\_\_\_\_ kg  $\text{PbCrO}_4$ 。

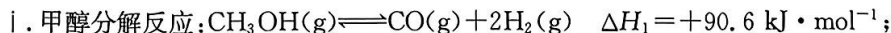
29. (15分) 甲醇是重要的化工原料。回答下列问题:

(1) 甲醇氧化法制备甲醛, 涉及反应如下:



$\text{CH}_3\text{OH}(g)$  与  $\text{O}_2(g)$  反应生成  $\text{HCHO}(g)$  和  $\text{H}_2\text{O}(g)$  的热化学方程式为\_\_\_\_\_, 该反应中的活化能  $E_a$ (正)\_\_\_\_\_ (填“>”或“<”)  $E_a$ (逆), \_\_\_\_\_ (填“高温”、“低温”或“任意温度”) 下能自发进行。

(2) 甲醇可水蒸气重整制氢, 主要经历两个阶段:



① 不同温度下“甲醇分解反应”与“水蒸气变换反应”的  $K_p$ (用平衡分压代替平衡浓度计算得到的平衡常数)见下表:

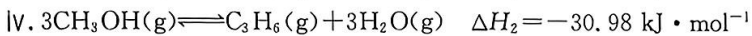
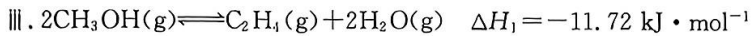
反应	398 K	498 K	598 K	698 K	798 K	898 K
甲醇分解	0.50	185.8	9939.5	$1.8 \times 10^5$	$1.6 \times 10^6$	$9.3 \times 10^6$
水蒸气变换	1577	137.5	28.14	9.339	4.180	2.276

398 K 时,  $\text{CH}_3\text{OH}(g) + \text{H}_2\text{O}(g) \xrightleftharpoons{\text{催化剂}} \text{CO}_2(g) + 3\text{H}_2(g)$  的  $K_p = \text{_____}$ 。

②下列关于甲醇水蒸气重整制氢的理解,正确的是\_\_\_\_\_ (填字母)。

- a. 催化剂的使用可以降低反应活化能和  $\Delta H$ ,加快反应速率
- b. 恒温恒容时,当混合气体压强不变时,则混合体系达到平衡
- c. 提高催化剂的活性和选择性、减少副产物是工艺的关键
- d. 相同条件下,若反应 i 的速率大于反应 ii 的速率,说明反应 i 的活化能更高

(3)在催化剂的作用下利用甲醇合成乙烯和丙烯涉及的主要反应如下:

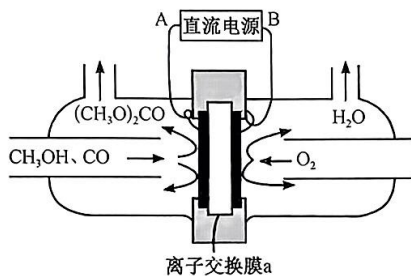


T K 时,在体积为 1 L 的恒容密闭容器中充入 1 mol  $\text{CH}_3\text{OH}(g)$ 发生反应 III 和反应 IV,5 min 后压强不再改变,此时测得  $\text{H}_2\text{O}(g)$ 的物质的量浓度为 0.8 mol  $\cdot \text{L}^{-1}$ 。

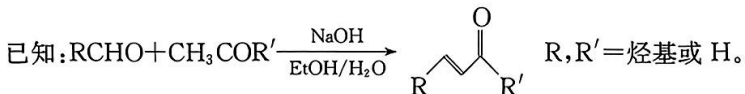
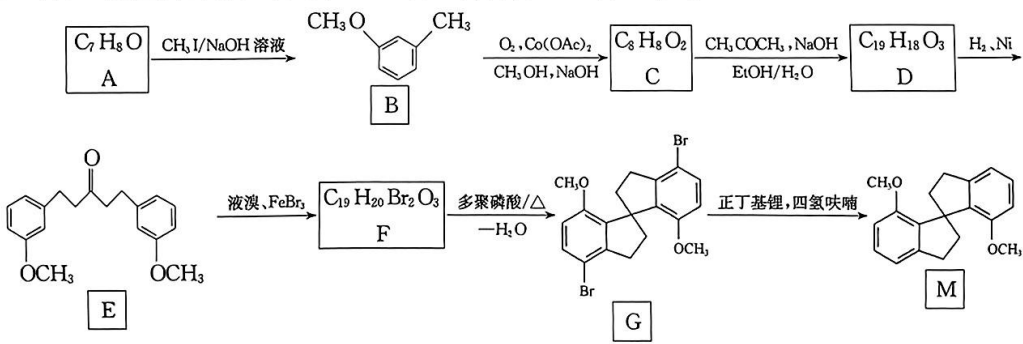
①5 min 内  $\text{H}_2\text{O}(g)$ 的生成速率为\_\_\_\_\_  $\text{mol} \cdot \text{L}^{-1} \cdot \text{min}^{-1}$ 。

②升高温度后,  $\text{C}_2\text{H}_4$ 的平衡产率反而提高,原因可能为\_\_\_\_\_。

(4)甲醇可合成碳酸二甲酯[( $\text{CH}_3\text{O}$ )<sub>2</sub>CO],其电化学工作原理如图所示。每消耗 3.2 g  $\text{O}_2$ ,产生\_\_\_\_\_ mol ( $\text{CH}_3\text{O}$ )<sub>2</sub>CO。离子交换膜 a 为\_\_\_\_\_ (填“阴离子交换膜”或“阳离子交换膜”)。



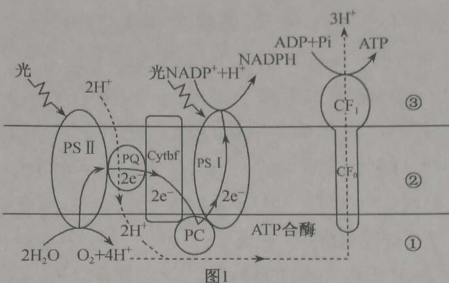
30.(15 分)M 是重要的有机中间体,以 A 为原料制备 M 的合成路线如下:



回答下列问题:

- (1) 已知 A 能与  $\text{FeCl}_3$  溶液发生显色反应,A 的结构简式为\_\_\_\_\_ ,其化学名称为\_\_\_\_\_。
- (2)写出一种核磁共振氢谱显示有 4 组峰,且峰面积之比为 6 : 2 : 1 : 1 的 B 的同分异构体的结构简式:\_\_\_\_\_ (任写一种)。
- (3)B→C 的反应类型为\_\_\_\_\_ ,能与  $\text{FeCl}_3$  溶液发生显色反应且能发生银镜反应的 C 的芳香族同分异构体有\_\_\_\_\_ 种(不含立体异构)。
- (4)D 的结构简式为\_\_\_\_\_ ,分子中含氧官能团的名称为\_\_\_\_\_。
- (5)写出 E→F 的化学方程式:\_\_\_\_\_。

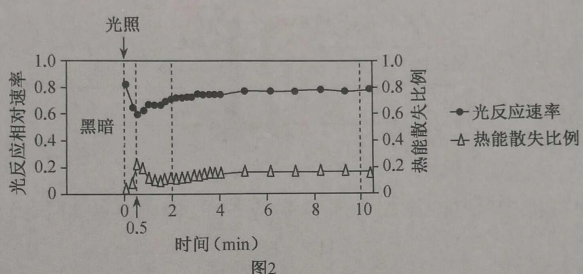
31. (11分)某研究小组对番茄植株的光合特性进行了研究。下图1是光反应示意图,①②③分别表示叶绿体中的不同结构。回答下列问题:



(1)番茄叶肉细胞中吸收光能的色素包括\_\_\_\_\_两大类。据图1分析,光照条件下,光反应的能量转换路径是\_\_\_\_\_ (用文字和箭头表示),光反应中 $e^-$ 的供体和最终受体分别是\_\_\_\_\_。

(2)图1①~③中 $H^+$ 浓度较高的结构是\_\_\_\_\_ (填序号),该结构中 $H^+$ 浓度较高的原因是\_\_\_\_\_ (答一点)。

(3)图2为番茄植株在某时间段内光反应相对速率和热能散失比例(叶绿体中以热能形式散失的能量占光反应捕获光能的比例)。



0~0.5 min(暗反应未启动时)热能散失比例\_\_\_\_\_。请分析0.5~2 min(暗反应启动后)热能散失比例的变化及其意义\_\_\_\_\_。

32. (11分)果蝇是一种重要的遗传实验材料。在黑腹果蝇中,灰体(B)对黑体(b)显性,长翅(V)对残翅(v)显性。用纯合的灰体长翅和黑体残翅果蝇杂交, $F_1$ 都是灰体长翅。回答下列问题:

- (1)若让 $F_1$ 雌雄个体相互交配,后代表型为灰体长翅:黑体残翅=3:1。请运用相关知识对此现象加以解释:
- 分析 $F_2$ 表型及比例可知,B(b)和V(v)的遗传不符合基因的\_\_\_\_\_,据此对基因在染色体上的位置做出假设:\_\_\_\_\_。
  - 演绎推理过程为:\_\_\_\_\_。若假设成立,则后代表型及比例为\_\_\_\_\_。
  - 进行果蝇杂交实验验证。

(2)上述实验的验证环节出现了与演绎推理不符的情况,结果如下表。

测交组合	后代表型及比例
$F_1$ 雄果蝇×黑体残翅雌果蝇	灰体长翅:黑体残翅=1:1
$F_1$ 雌果蝇×黑体残翅雄果蝇	灰体长翅:黑体残翅:灰体残翅:黑体长翅=21:21:4:4

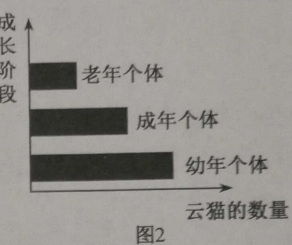
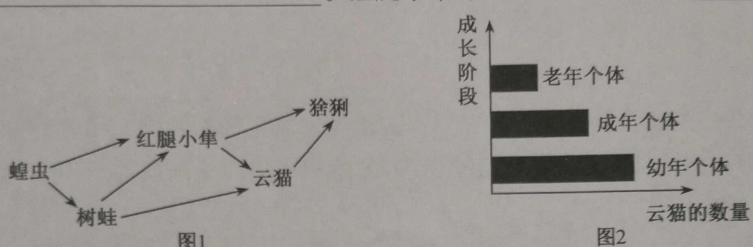
有同学认为出现此现象的原因是两对基因在雄性个体中完全连锁(精原细胞减数分裂时不发生互换),在雌性个体中不完全连锁(部分卵原细胞在减数分裂时会发生互换),如果这个观点成立,那么 $F_1$ 雌雄个体相互交配,后代表型及比例为\_\_\_\_\_。

33. (9分)高盐饮食是高血压的一大诱因,这主要是由于食盐中的钠与血压升高有密切关系。最新研究发现低钠饮食能够使高血压患者平均降低8 mm Hg的收缩压,其效果和常用的降压药差不多。回答下列问题:

- (1)醛固酮在调节钠离子平衡方面具有重要作用。醛固酮是由\_\_\_\_\_分泌的,能够促进肾小管和集合管通过\_\_\_\_\_的方式重吸收钠。日常饮食中食盐摄入过多会导致醛固酮分泌\_\_\_\_\_(填“增多”或“减少”)。
- (2)长期食盐摄入过多使细胞外液渗透压升高,刺激\_\_\_\_\_内的渗透压感受器,促使机体合成和分泌抗利尿激素,并由\_\_\_\_\_释放进入血液,促进肾小管和集合管对水的重吸收。上述两种激素通过调节尿量和尿的成分实现水盐平衡,该过程的调节方式为\_\_\_\_\_。
- (3)研究发现,降压药(如依普利酮)主要通过抑制醛固酮受体的作用来治疗高血压,请简述其作用机理:\_\_\_\_\_。

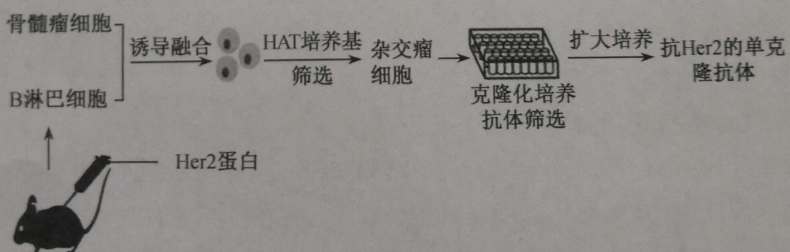
34. (12分)云南地处中国西南边陲,自然资源丰富,动植物种类繁多,是生态学研究的优质宝库。图1为该地部分生物间的一个食物关系网络。回答下列问题:

- (1)图1\_\_\_\_\_ (填“可以”或“不可以”)表示该地的一个完整食物网,理由是\_\_\_\_\_。红腿小隼与云猫的种间关系为\_\_\_\_\_。



- (2)为调查某地(面积为5公顷)云猫的种群密度,科研人员第一次捕捉了27只云猫标记后原地放回,第二次捕捉了15只云猫,其中带有标记的有3只,由此可估算当地云猫的种群密度约为\_\_\_\_\_.若标记物会因云猫的奔跑而脱落,则估算所得的数值与云猫种群实际值相比偏\_\_\_\_\_(填“大”或“小”)。图2为统计的该地云猫种群各成长阶段的个体数量,说明该云猫种群的年龄结构属于\_\_\_\_\_型。
- (3)研究人员发现,该地的每种生物均占据着相对稳定的生态位,这有利于\_\_\_\_\_,出现这种现象的原因是\_\_\_\_\_。

35. (11分)癌细胞表面有大量的Her2蛋白,研究人员将该蛋白作为抗原制备了抗Her2单克隆抗体,用于阻断癌细胞的生长,制备流程如下图。回答以下问题:



- (1)制备抗Her2单克隆抗体时,首先要将纯化的Her2蛋白注入小鼠体内,其目的是\_\_\_\_\_.在获取该细胞前3天需再次注射Her2蛋白,目的是\_\_\_\_\_。
- (2)将B淋巴细胞和骨髓瘤细胞进行融合时,常用\_\_\_\_\_作为诱导因素。融合体系中会出现多种类型的融合细胞,其原因是\_\_\_\_\_。
- (3)在HAT培养基(选择性培养基)上进行筛选时,\_\_\_\_\_细胞会死亡。克隆化培养和抗体筛选过程常用到96孔板,原理是对杂交瘤细胞的培养液充分稀释,使\_\_\_\_\_,通过培养让它增殖为单克隆,再进行相应检测。

## 关于我们

自主选拔在线是致力于提供新高考生涯规划、强基计划、综合评价、三位一体、学科竞赛等政策资讯的升学服务平台。总部坐落于北京，旗下拥有网站（[网址：www.zizzs.com](http://www.zizzs.com)）和微信公众平台等媒体矩阵，用户群体涵盖全国 90%以上的重点中学师生及家长，在全国新高考、自主选拔领域首屈一指。

如需第一时间获取相关资讯及备考指南，请关注**自主选拔在线**官方微信号：**zizzsw**。



微信搜一搜

自主选拔在线